

## ВЛИЯНИЕ ПОПЕРЕЧНОГО ГРАДИЕНТА СКОРОСТИ НА ТОЧНОСТЬ ИЗМЕРЕНИЙ ЗОНДОВЫМ ЭЛЕКТРОМАГНИТНЫМ ПРЕОБРАЗОВАТЕЛЕМ СКОРОСТИ ПОТОКОВ

Горбылев В. В., ст. гр. ПЭ-00

Руководитель: доц. Коренев В.Д.

Поскольку точность расходомеров определяется совокупностью различных погрешностей, неоднозначность показаний, обусловленная влиянием на них градиента скорости, во всяком случае, не должна превышать 0,1 – 0,2 величины погрешности, допустимой для приборов данного класса точности. Оценить эту величину можно, определив распределение индуцированного электрического поля (1, 2)

$$\bar{E} = -\nabla\varphi , \quad (1)$$

в измеряемом потоке жидкости, движущейся в магнитном поле измерительного преобразователя (рис. 1), поскольку, как показал проведенный анализ механизма формирования сигнала МГД измерителей, их показания целиком определяются именно его распределением в рабочей области измерительного преобразователя. Распределение электрического поля определяется как характеристиками МГД преобразователя (геометрическими параметрами его магнитного индуктора и местоположением измерительных электродов), так и структурой измеряемого потока (режимом течения - эпюй скоростей) и в этой связи значения этих характеристик и параметров, а так же их возможные вариации в процессе измерений существенным образом определяют метрологические характеристики рассматриваемых МГД измерителей.

$$U = \varphi_{(E_1)} - \varphi_{(E_2)} = \int_{E_1}^{E_2} E_L dl = \int_{E_1}^{E_2} \left\{ \frac{j_L}{\sigma} - [V \cdot B]_L \right\} dl \quad (2)$$

где  $dl$  – элемент пути – элемент контура интегрирования  $L$ , соединяющего электроды  $E_1$  и  $E_2$ .

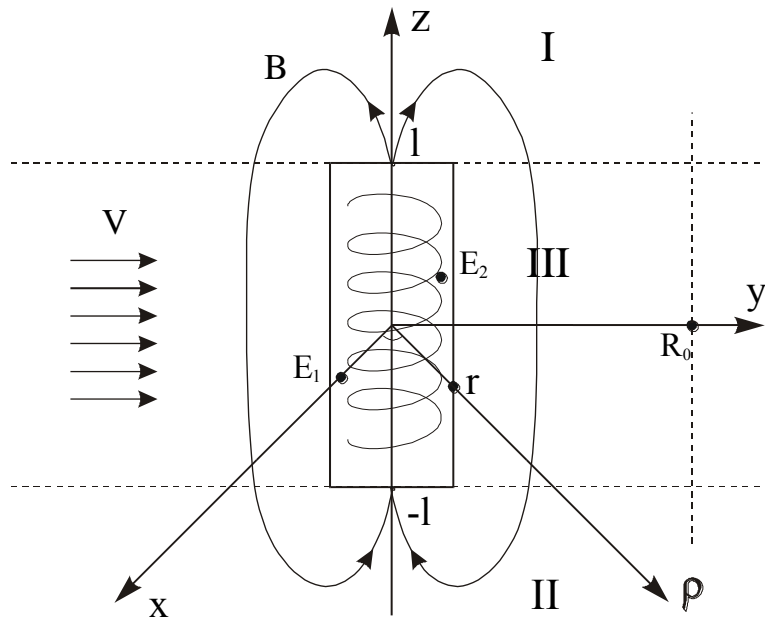


Рисунок 1- Катушка возбуждения магнитного поля преобразователя

Таким образом, искомое индуцированное электрическое поле – электрический потенциал (1) в движущейся среде описывается второй краевой задачей для уравнения Пуассона с однородным граничным условием (3, 4).

$$\Delta\varphi = \bar{B} \cdot \operatorname{rot} \bar{V}. \quad (3)$$

$$\left. \frac{\partial\varphi}{\partial n} \right|_{\Gamma} = 0, \quad (4)$$

где  $n$  – нормаль к границе  $\Gamma$ .

Решение этой задачи при произвольном распределении магнитной индукции и поля скоростей в движущейся жидкости представимо в виде [2]:

$$\varphi = \varphi(\xi, \eta, \zeta, l, r, R) = \iiint_{\Omega} G \cdot B \cdot \operatorname{rot} V \, d\Omega = \iiint_{\Omega} G \left[ B_x \frac{\partial V}{\partial y} - B_y \frac{\partial V}{\partial x} \right] \, d\Omega, \quad (5)$$

где  $G = G(x, y, z, \xi, \eta, \zeta, l, r, R)$  – функция влияния или функция Грина задачи Неймана для уравнения Пуассона (3) в области  $\Omega$ ;

$\Omega$ - внутренность цилиндрического трубопровода радиуса  $R$  с размещенным в нем цилиндрическим стержнем (преобразователем) радиуса  $r$  длиной  $2l$  (рис.1);

$\xi, \eta, \zeta$ - соответствующая  $x, y, z$  декартова система текущих координат.

Определив из (5) распределение электрического потенциала в рассматриваемом потоке движущейся жидкости (рис.1.), можно определить разность потенциалов

$$U = \varphi_{(E_1)} - \varphi_{(E_2)} = \varphi_{(\xi_1, \eta_1, \zeta_1)} - \varphi_{(\xi_2, \eta_2, \zeta_2)},$$

снимаемую с электродов МГД преобразователя (рис.1), расположенных в точках  $E_1(r, 0,758R, 0)$  и  $E_2(-r, 0,758R, 0)$  средней скорости

$$\begin{aligned} U &= \iiint_{\Omega} G(x, y, z, \xi_1, \eta_1, \zeta_1, l, r, R) \left[ B_x \frac{\partial V}{\partial y} - B_y \frac{\partial V}{\partial x} \right] d\Omega - \\ &- \iiint_{\Omega} G(x, y, z, \xi_2, \eta_2, \zeta_2, l, r, R) \left[ B_x \frac{\partial V}{\partial y} - B_y \frac{\partial V}{\partial x} \right] d\Omega = \\ &= \iiint_{\Omega} \Phi(x, y, z, \xi_1, \xi_2, \eta_1, \eta_2, \zeta_1, \zeta_2, l, r, R) \left[ B_x \frac{\partial V}{\partial y} - B_y \frac{\partial V}{\partial x} \right] d\Omega, \quad (6) \end{aligned}$$

где  $\Phi = G_{(E_1)} - G_{(E_2)}$  – приращение функции Грина на электродах МГД преобразователя.

В выражении (6) для сигнала  $U$  разрабатываемого преобразователя расхода слагаемое  $\partial V / \partial x$  в квадратных скобках определяет величину сигнала, а слагаемое  $\partial V / \partial y$  – добавку в сигнал, связанную с градиентом скорости – изгибом эпюры скоростей в месте размещения преобразователя. Поэтому второе слагаемое и определяет степень зависимости показаний преобразователя от градиента скорости потока.

Для определения количественной зависимости показаний МГД преобразователя от градиента скорости измеряемого потока выражение (6) удобно представить в виде

$$U = - \iiint_{\Omega} \Phi \cdot B_y \frac{\partial V}{\partial x} [1 - \delta] d\Omega, \quad (7)$$

$$\delta(l, r) \equiv \delta = \frac{B_x}{B_y} \cdot \left( \frac{\partial V}{\partial y} / \frac{\partial V}{\partial x} \right)$$

где - (8)

представляет собой относительную величину вклада в сигнал преобразователя в трубопроводах больших диаметров добавки, связанной с градиентом скорости измеряемого потока.

Следовательно, определение величины  $\delta$  позволит определить степень зависимости показаний разрабатываемых измерителей от градиента скорости измеряемого потока, а её минимизация, т.е. выбор таких параметров катушки возбуждения  $r$  и  $l$ , при которых  $\delta$  будет  $\ll 1$ , позволит свести эту зависимость к приемлемому минимуму.

Проведя несложные преобразования и вычисления, получим следующее выражение для искомого вклада:

$$\delta = \frac{B_x}{B_y} \cdot \frac{y}{x} . \quad (9)$$

Для получения количественной оценки зависимости электромагнитных расходомеров от градиента скорости измеряемого потока (9) необходимо определить характер распределения магнитного поля такого измерителя, который в свою очередь определяется конструктивными параметрами магнитной системы. В связи с этим необходимо найти распределение магнитного поля, создаваемого рассматриваемым измерителем с цилиндрической магнитной системой на основе решения системы уравнений (10) при соответствующих граничных условиях.

$$\begin{aligned} \bar{B} &= -\nabla \varphi_m , \\ \Delta \varphi_m &= 0 , \end{aligned} \quad (10)$$

где  $\varphi_m$  – магнитный потенциал.

Компоненты вектора магнитной индукции  $B(B_x, B_y, B_z)$  могут быть найдены на основе определения магнитного потенциала  $\varphi_m$ , распределение которого описывается задачей Неймана для уравнения Лапласа для внешности цилиндра – цилиндрической магнитной системы МГД измерителя с локальным магнитным полем .

Для решения поставленной задачи, учитя аксиальную симметрию магнитной системы, рационально ввести в рассмотрение соответствующую декартовой  $(x, y, z)$  цилиндрическую систему координат  $(\rho, \theta, z)$ , начало которой размещено в центре цилиндра, а ось  $OZ$  направлена по оси цилиндра (рис.1).

Для определения компонент вектора магнитной индукции в явном виде необходимо определить значение магнитной индукции на границе  $z = \pm l$  (рис.1), т.е. функцию:

$$\left. \frac{\partial \varphi_m}{\partial z} \right|_{z=\pm l} = -B_0 f(\rho / R_0), \quad (11)$$

где  $R_0$  – гипотетическая граница – некоторое значение  $\rho$ , при котором магнитное поле практически отсутствует.

В результате выполненного эксперимента определена обобщенная кривая распределения вертикального компонента  $B_z$  вектора магнитной индукции в плоскости полюсов катушек возбуждения магнитного поля МГД преобразователей с локальным магнитным полем, которая с достаточной для проводимых исследований степенью точности (порядка 5%) была аппроксимирована степенным полиномом, методом наименьших квадратов.

Выполненные экспериментальные исследования позволили окончательно сформулировать граничное условие (11) для магнитного потенциала  $\varphi_m$ ; определить гипотетическую границу  $R_0 = 5r$ , через которую можно заведомо считать, что магнитное поле не выходит, т.е. записать условие затухания магнитного поля с расстоянием от катушки возбуждения  $\varphi_m(R_0, z) = 0$  и определить в явном виде распределение магнитного поля рассеяния МГД преобразователя.

На основании аналитического выражения для определения распределения вертикального компонента вектора магнитной индукции ( $B_z$ ) на торцах магнитной системы при  $z = l$ , были рассчитаны расчетные значения  $B_z$  <sub>расч.</sub>

Качество полученного решения для распределения магнитного поля рассеяния МГД преобразователей с локальным магнитным полем оценивалось по величине среднего квадратического отклонения

$$\sigma = \sqrt{\frac{\sum_{i=1}^n (B_{z\text{расч.}} / B_0 - B_{z\text{эксп.}} / B_0)^2}{n-1}} \cdot 100\%, \quad (12)$$

полученных расчетных значений  $B_z$  при  $z = l$ , от соответствующих экспериментальных результатов.

Здесь  $n$  – количество точек, в которых производился эксперимент.

Очевидно, что влияние движущихся слоев жидкости на снимаемую с электродов МГД преобразователя разность потенциалов падает с расстоянием и вклад достаточно удаленных от него слоев пренебрежимо мал. Однако величина “достаточно удаленный”, несомненно, связанная с геометрическими параметрами магнитной системы измерительного преобразователя, требует количественной оценки.

На основании проведенных расчетов можно сделать следующие выводы:

- область пространственного осреднения – рабочая область измерителя – в основном сконцентрирована в зоне расположения электродов и ее протяженность не превышает трех радиусов магнитной системы измерительного преобразователя;
- погрешность определения магнитного поля рассеяния МГД преобразователей с локальной магнитной системой, полученного на основе решения краевой задачи не превышает 1%.

#### Перечень ссылок

- 1 ГОСТ 8.361-79. ГСИ. Расход жидкости и газа. Методика выполнения измерений по скорости в одной точке сечения трубы.
- 2 Положий Г.Н. Уравнения математической физики. – М.: "Высшая школа", 1964. – 438с.